

Clase anterior

- Discusión final sobre interiores estelares. Estrellas de neutrones y agujeros negros.
- Campos magnéticos en Astrofísica: planetas, estrellas, galaxias, ...
- Dinámica de flúidos cargados \rightarrow plasmas
- Descripción magnetohidrodinámica (MHD).
- Ecuación de inducción. Número de Reynolds magnético.
- Congelamiento campo-materia.

Ecuaciones MHD — Límite no-relativista

Las ecuaciones MHD son entonces

$$\partial_t \rho + \nabla \cdot (\rho \underline{u}) = 0$$

$$\rho (\partial_t \underline{u} + (\underline{u} \cdot \nabla) \underline{u}) = -\nabla \rho + \frac{1}{4\pi} (\nabla \times \underline{B}) \times \underline{B}$$

$$\rho = \rho_0 \left(\frac{p}{p_0} \right)^\gamma$$

$$\left. \begin{aligned} -\frac{1}{c} \partial_t \underline{B} &= \nabla \times \underline{E} \\ \underline{E} + \frac{1}{c} \underline{u} \times \underline{B} &= \frac{1}{\sigma} \underline{J} \end{aligned} \right\} \Leftrightarrow \partial_t \underline{B} = \nabla \times (\underline{u} \times \underline{B}) + \eta \nabla^2 \underline{B}$$

$$\nabla \cdot \underline{B} = 0$$

$$\nabla \cdot \underline{E} = 4\pi e (n_p - n_e)$$

$$\nabla \times \underline{B} = \frac{4\pi}{c} \underline{J} + \frac{1}{c} \partial_t \underline{E}$$

Límite no-relativista

$$\frac{4\pi e (n_p - n_e)}{4\pi e n} \approx \frac{|\nabla \cdot \underline{E}|}{4\pi \frac{J}{u}} \approx \frac{\frac{uB}{cL}}{\frac{cB}{uL}} \approx \left(\frac{u}{c} \right)^2 \ll 1$$

Entonces $n_p - n_e \ll n \rightarrow n_e \approx n_p \approx n$

$$\frac{|\frac{1}{c} \partial_t \underline{E}|}{|\nabla \times \underline{B}|} \approx \frac{\frac{uB}{c^2 T}}{\frac{B}{L}} \approx \left(\frac{u}{c} \right)^2 \ll 1$$

Hemos usado

$$E \sim \frac{uB}{c}$$

$$J \sim enu$$

$$J \sim \frac{c}{4\pi} \frac{B}{L}$$

$$u \sim \frac{L}{T}$$

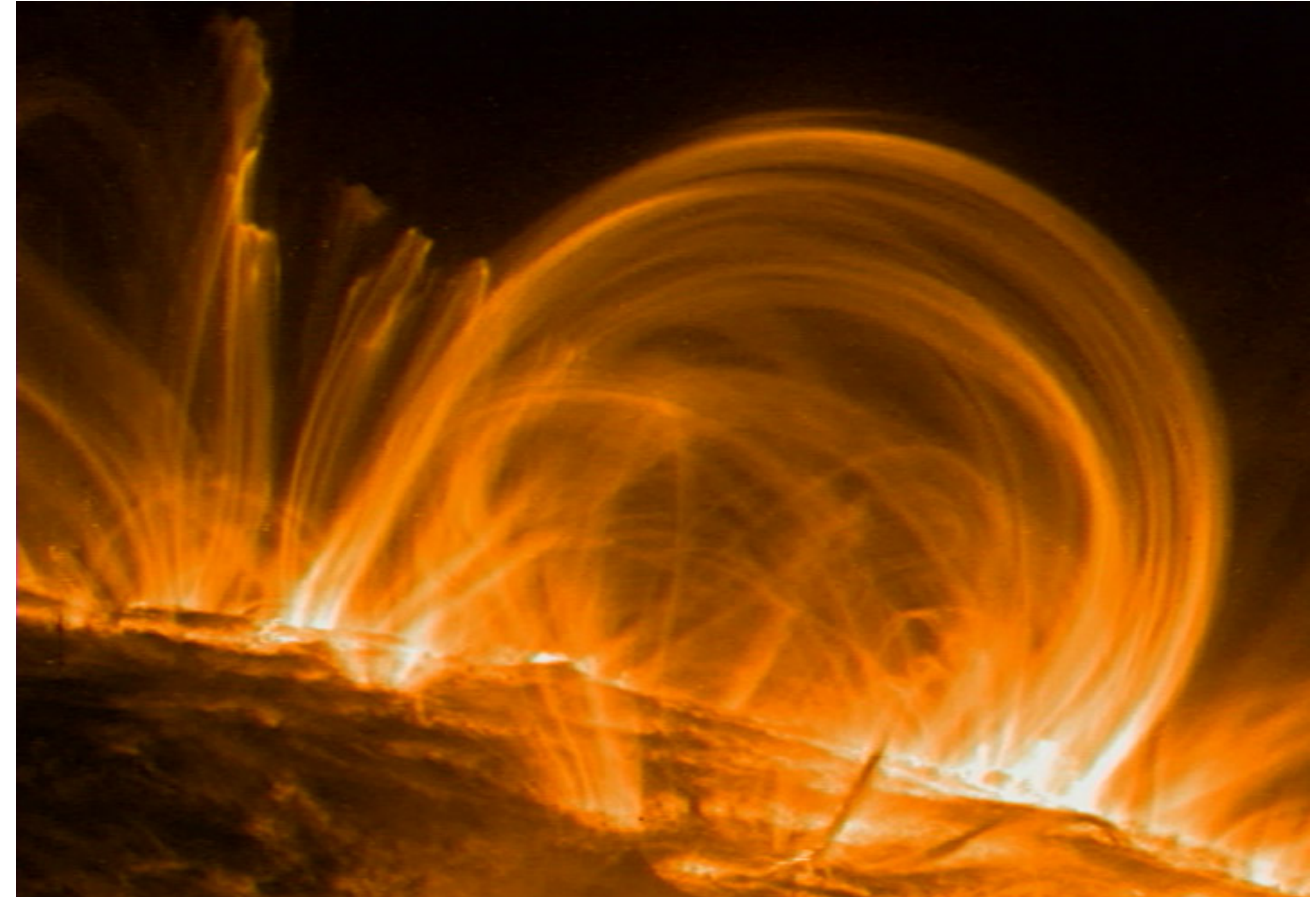
Ecuación de inducción

- La ecuación de inducción es una de las ecuaciones MHD, que rige la dinámica del campo magnético:

$$\frac{\partial \underline{B}}{\partial t} = \underline{\nabla} \times (\underline{u} \times \underline{B}) + \eta \nabla^2 \underline{B}$$

- Para $Rm \gg 1$ $\frac{\partial \underline{B}}{\partial t} \approx \underline{\nabla} \times (\underline{u} \times \underline{B})$ (congelamiento)

- Para $Rm \ll 1$ $\frac{\partial \underline{B}}{\partial t} \approx \eta \nabla^2 \underline{B}$ (difusión)



- Ambos regímenes están presentes en la dinámica de la corona solar.
- [SDO_movie.mp4](#) muestra la compleja dinámica de regiones activas y algunas fulguraciones menores.
- Fulguración solar (<https://www.youtube.com/watch?v=q-ZQBlWdlAY>)

Régimen difusivo

- En el régimen $R_m \ll 1$, tenemos entonces $\frac{\partial \underline{B}}{\partial t} \approx \eta \nabla^2 \underline{B}$.

- Es decir que \underline{B} sufre un proceso difusivo. El tiempo de difusión para inhomogeneidades de tamaño λ es

$$\frac{B}{\tau_\lambda} \approx \eta \frac{B}{\lambda^2} \rightarrow \tau_\lambda \approx \frac{\lambda^2}{\eta}$$

- La corriente eléctrica asociada es $\underline{J} = \frac{c}{4\pi} \nabla \times \underline{B} \rightarrow J_\lambda \approx \frac{c}{4\pi} \frac{B_\lambda}{\lambda}$

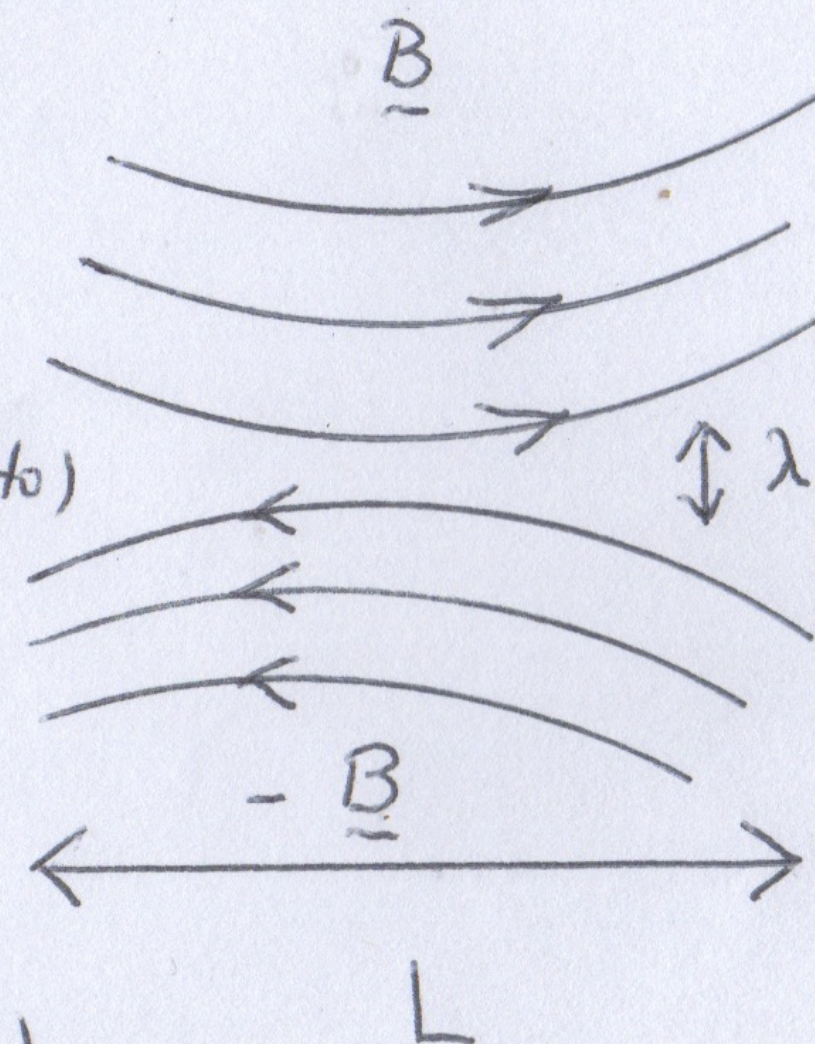
- Un caso particularmente interesante, corresponde a un encuentro de líneas magnéticas de igual intensidad y sentidos opuestos

- Colisión entre dos estructuras macro de tamaño L

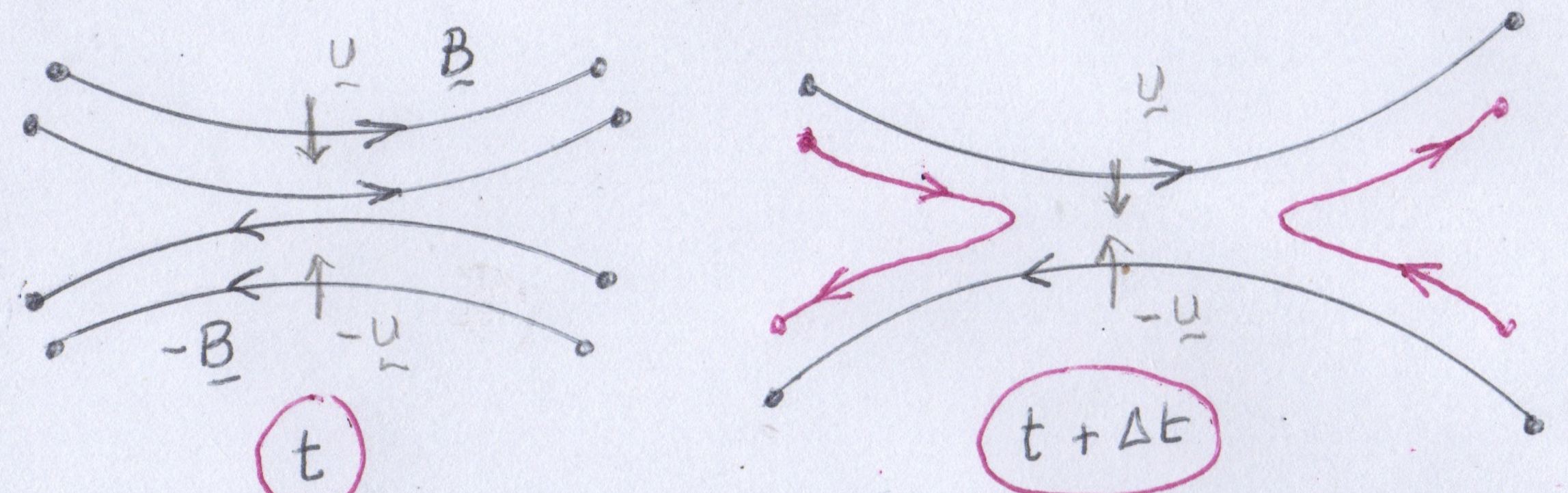
$$R_m^L \sim \frac{uL}{\eta} \gg 1 \text{ (congelamiento)}$$

- Separación $\lambda \ll L$

$$R_m^\lambda \sim \frac{u\lambda}{\eta} \ll 1 \text{ (difusión)}$$



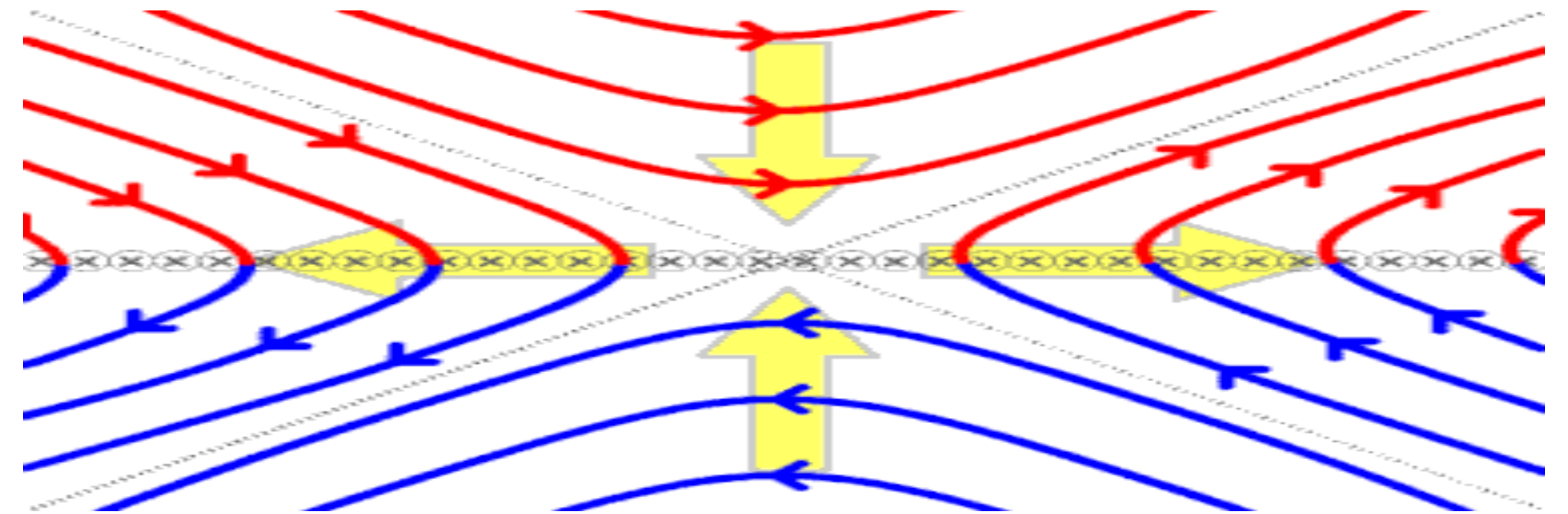
- En estas circunstancias, se da el fenómeno de reconexión magnética



- Las estructuras macro se aproximan con $\pm \underline{u}$.
- La difusión re-conecta líneas

Reconexión magnética

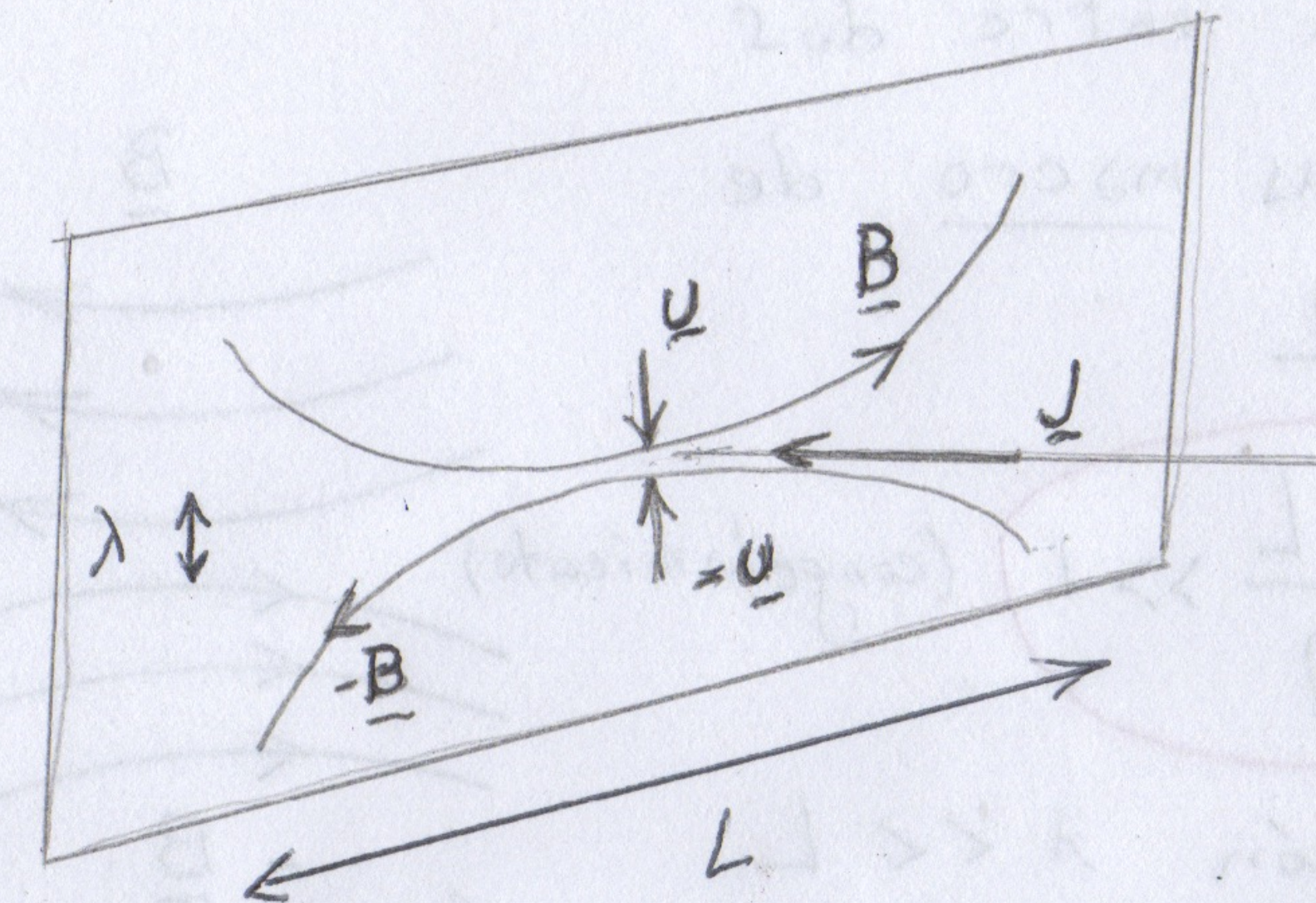
- Las líneas magnéticas y el plasma de las estructuras macro se aproximan desde arriba y abajo, cumpliendo la condición de congelamiento.
- Al ingresar a la región de difusión, cada línea **roja** se reconecta con una línea **azul**. El campo de velocidades se indica en **amarillo**.
- Consistentemente, en la región de difusión circula corriente eléctrica en la dirección perpendicular a la pantalla.



- La densidad de corriente es $J \sim \frac{c}{4\pi} \frac{B}{\lambda}$
- También tendremos un campo \underline{E} autoconsistente

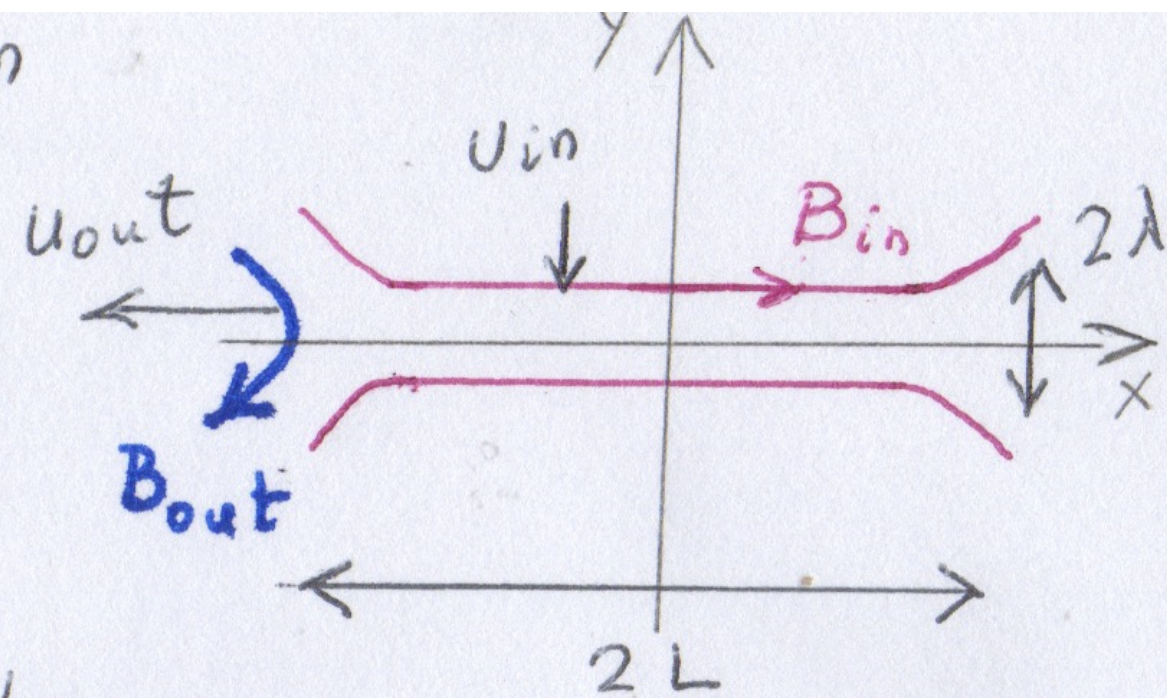
$$\underline{E} = \frac{1}{\sigma} \underline{J} \quad \eta = \frac{c^2}{4\pi\sigma}$$

- Una vez reconectadas, las líneas magnéticas y el plasma son eyectados a izquierda y derecha, cumpliendo la condición de congelamiento.



Modelo de Sweet-Parker (1958)

- Sweet y Parker proponen en 1958 un modelo estacionario, incompresible, 2D de las ecs. MHD.



- Por la ec. continuidad:

$$\nabla \cdot (\rho \underline{u}) = 0 \longrightarrow \rho u_{in} 2L = \rho u_{out} 2\lambda$$

$$u_{in} L = u_{out} \lambda$$

- Por Faraday

$$\left. \begin{aligned} \nabla \times \underline{E} = -\frac{1}{c} \frac{\partial \underline{B}}{\partial t} = 0 \\ \underline{E} = -\frac{1}{c} \underline{u} \times \underline{B} + \frac{1}{\sigma} \underline{j} \end{aligned} \right\} \begin{aligned} \text{En } \hat{x}: -\frac{1}{c} \frac{\partial B_{in}}{\partial t} = \partial_y E_z \\ E_z = -\frac{1}{c} u_{in} B_{in} + \frac{j_z}{\sigma} \end{aligned}$$

$$\partial_y E_z = 0 \longrightarrow \frac{1}{c} u_{in} B_{in} \approx \frac{c}{4\pi\sigma} \frac{B_{in}}{\lambda}$$

$$u_{in} \approx \frac{\eta}{\lambda}$$

- La ec. movimiento $\rho(\underline{u} \cdot \nabla) \underline{u} = -\nabla p + \frac{1}{4\pi} (\nabla \times \underline{B}) \times \underline{B}$

- Usando $(\nabla \times \underline{F}) \times \underline{F} = (\underline{F} \cdot \nabla) \underline{F} - \nabla(F^2/2)$ la transformamos en

$$\rho \underline{u} \times \underline{u} - \frac{1}{4\pi} (\underline{B} \cdot \nabla) \underline{B} = -\nabla \left(\frac{\rho u^2}{2} + p + \frac{B^2}{8\pi} \right)$$

- Evaluamos la componente \hat{y} en el eje $x=0$:

$$\left. \begin{aligned} \underline{u} \parallel \hat{z} \\ \underline{u} \parallel \hat{y} \\ \underline{B} \parallel \hat{x} \end{aligned} \right\} \longrightarrow \partial_y \left(\frac{\rho u_{in}^2}{2} + p + \frac{B_{in}^2}{8\pi} \right) = 0$$

p_0 : lejos del origen

$$p_0 + \frac{B_{in}^2}{8\pi} = p(0,0)$$

$p(0,0)$: en el origen

- Ahora la componente \hat{x} en el eje $y=0$:

$$\left. \begin{aligned} \underline{u} \parallel \hat{z} \\ \underline{u} \parallel \hat{x} \\ \underline{B} \parallel \hat{y} \end{aligned} \right\} \longrightarrow \partial_x \left(\frac{\rho u_{out}^2}{2} + p + \frac{B_{out}^2}{8\pi} \right) = 0$$

$$\frac{\rho u_{out}^2}{2} + p_0 = p(0,0)$$

- Comparando las últimas dos ecuaciones:

$$u_{out} = \frac{B_{in}}{\sqrt{4\pi\rho}}$$

Tasa de reconexión magnética

- Los parámetros de las estructuras macro, son los datos del problema: ρ, L, B_{in}, ρ_0

$$v_A = \frac{B_{in}}{\sqrt{4\pi\rho}} : \text{vel. Alfvén}$$

- De las ecuaciones anteriores, las incógnitas son entonces: $\lambda, u_{in}, \rho(0,0)$.

- Para las estructuras macro, podemos definir el número de Lundquist, una suerte de número de Reynolds magnético con velocidad v_A

$$S = \frac{v_A L}{\eta} : \text{número de Lundquist}$$

- Entonces, obtenemos u_{in} y λ :

$$u_{in} = \frac{\eta}{\lambda} = \frac{\eta}{v_A L} \cdot \frac{v_A L}{\lambda} = \frac{1}{S} \cdot \frac{v_A L}{\lambda}$$

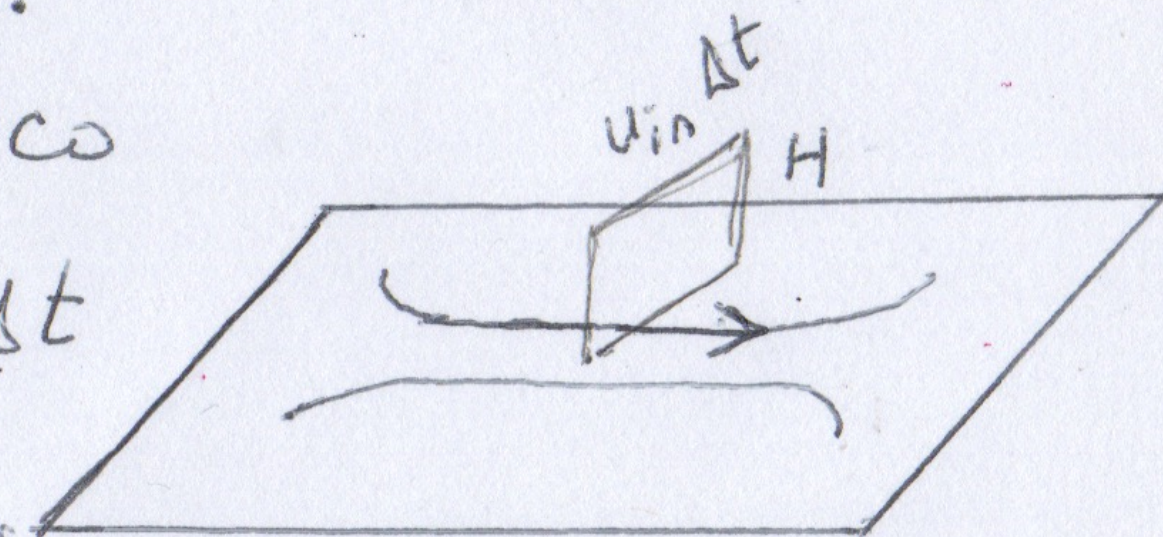
$$\frac{\lambda}{L} = \frac{u_{in}}{v_A} \longrightarrow u_{in} = \frac{1}{S} \cdot v_A \left(\frac{v_A}{u_{in}} \right)$$

$$\left(\frac{u_{in}}{v_A} \right)^2 = \frac{1}{S} \longrightarrow \frac{u_{in}}{v_A} = \frac{\lambda}{L} = S^{-1/2}$$

- Definimos la tasa de reconexión magnética como el flujo magnético reconectado por unidad de tiempo.

- El flujo magnético

$$\Delta\Phi = B_{in} \cdot H u_{in} \Delta t$$



- Como el problema es 2D, la tasa de reconexión es por unidad de altura, es decir

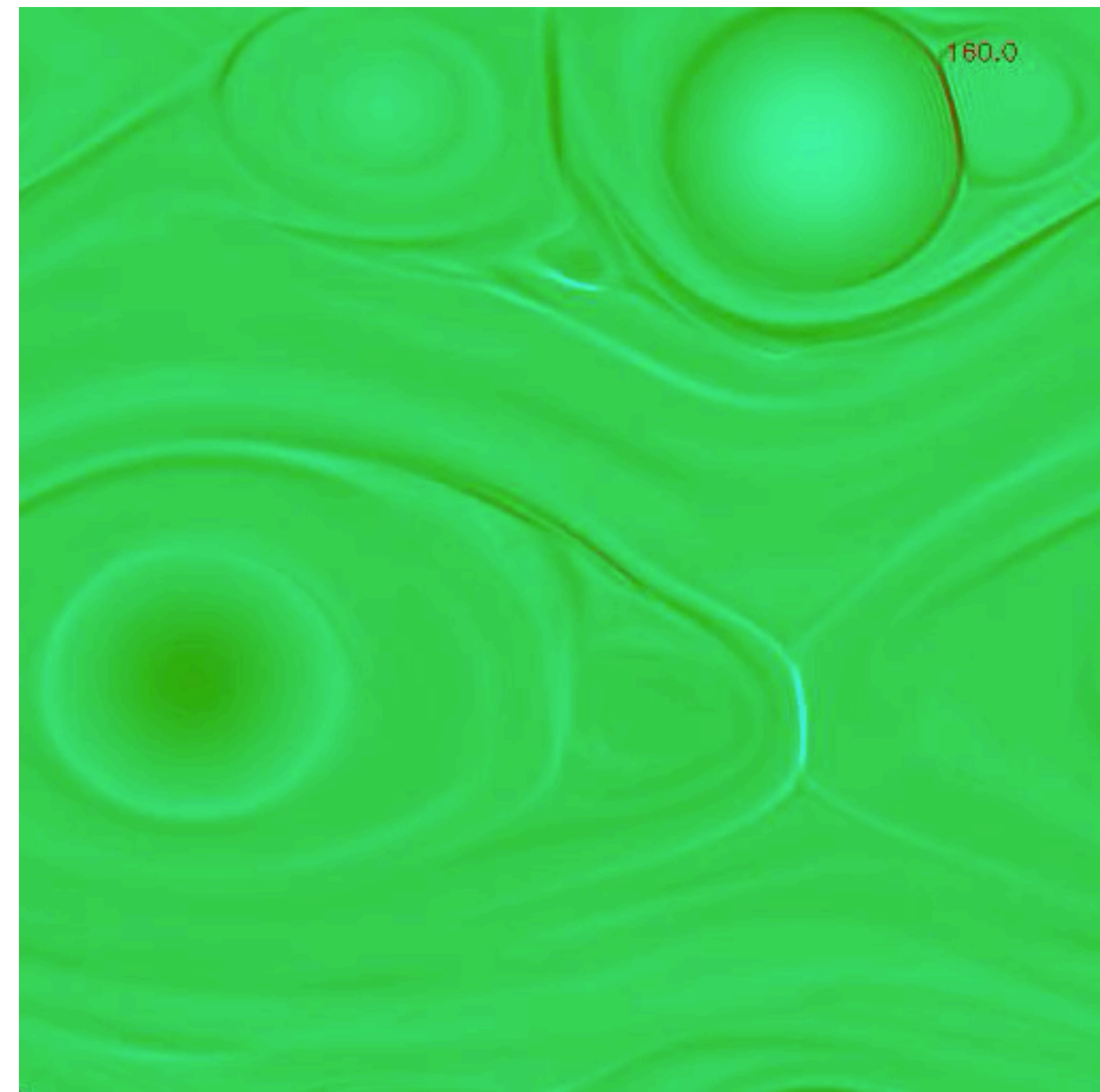
$$R = \frac{1}{H} \frac{\Delta\Phi}{\Delta t} = B_{in} \cdot u_{in}$$

- La tasa de reconexión adimensional, usando los datos B_{in}, v_A , es

$$R = \frac{1}{B_{in} v_A} \frac{\Delta\Phi}{\Delta t} \longrightarrow R = \frac{u_{in}}{v_A} = S^{-1/2}$$

Reconexión difusiva y rápida

- En la corona solar: $B \approx 100 \text{ Gauss}$, $n \approx 10^{10} \text{ cm}^{-3}$. Entonces $v_A \approx 2500 \text{ km/s}$.
- Para hidrógeno ionizado: $\eta \approx 10^4 \text{ cm}^2/\text{s}$. Con estructuras macro de longitud $L \approx 10^5 \text{ km}$, resulta $S = \frac{v_A L}{\eta} \approx 2.5 \cdot 10^{14}$
- Números de Lundquist enormes como este son comunes en Astrofísica. Entonces, si $S \gg 1$ resulta que $R = S^{-1/2} \ll 1$
- La reconexión es un mecanismo de conversión de energía magnética ($\frac{B_{in}^2}{8\pi}$) en cinética ($\frac{1}{2} \rho v_A^2$). Sin embargo, la tasa de reconexión del modelo difusivo de Sweet-Parker, hacen que esa reconexión sea excesivamente lenta.
- Los modelos de reconexión rápida obtienen $R \approx 0.1 - 1$ y son independientes de S.



- Simulación numérica de reconexión mostrando $J(x,y,t)$
- Simulación numérica de turbulencia MHD mostrando zonas de reconexión.